

浙江大学实验报告

专业：自动化

姓名：_____

学号：_____

日期：2022/07/03

地点：浙江大学玉泉校区

课程名称：机器人与智能系统综合实践 指导老师：_____成绩：_____

实验名称：机械臂运动控制 实验类型：_____同组学生姓名：_____

一、实验目的和要求（必填）

实验目的：

1. 掌握空间刚体的位置和姿态表示方法
2. 掌握关节型机械臂正、逆运动学求解方法
3. 掌握关节型机械臂轨迹规划方法
4. 学会使用 CoppeliaSim 仿真工具对机械臂进行运动仿真
5. 会使用 Python 等计算机编程语言控制机械臂运动

实验要求：

1. 写出 ZJU-I 型桌面机械臂的 DH 参数；
2. 写出 ZJU-I 型机械臂的正运动学解，采用 XY'Z' 欧拉角表示末端执行器姿态；
3. 写出 ZJU-I 型桌面机械臂的逆运动学解（只需解析解或数值解其中一个）；
4. 设计合理的轨迹规划方案，在仿真环境中控制机械臂依次抓取 4 个目标物，然后按照装配关系放置到装配区域，要求除抓取点和放置点外，各个关节的位置、速度连续且平滑；
5. 完成实验后需提交实验报告电子版 1 份，页数不超过 8 页 A4 纸，报告命名规则为：学号-1-姓名.docx；
6. 完成实验后需提交 Python 实验代码文件 1 份，命名规则为：学号-1-姓名.py

二、主要仪器设备

1. ZJU-I 型桌面机械臂
2. CoppeliaSim
3. Python + VScode

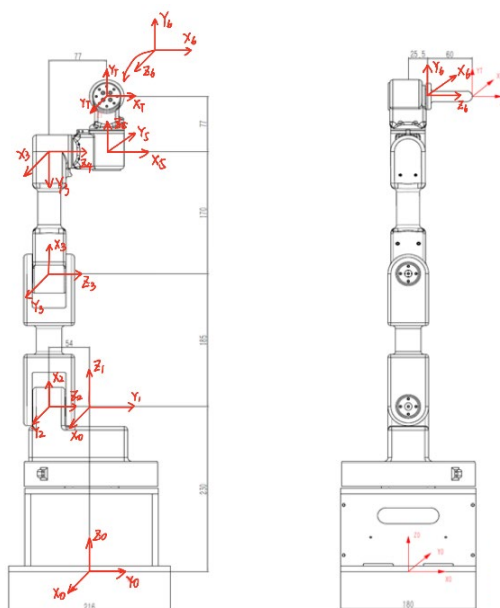
三、实验内容和原理（必填）

1. ZJU-I 型桌面机械臂的 DH 参量表如下表所示：

关节 i	α_{i-1}	a_{i-1}	d_i	θ_i
1	0	0	0.23	θ_1
2	-90°	0	-0.054	$\theta_2 - 90^\circ$
3	0	0.185	0	θ_3
4	0	0.170	0.077	$\theta_4 + 90^\circ$
5	90°	0	0.077	$\theta_5 + 90^\circ$
6	90°	0	0.0255	θ_6

2. 正运动学解

先求 ${}^{i-1}_iT$ ：



$$\begin{aligned}
{}^0_1T &= \begin{bmatrix} c_1 & -s_1 & 0 & 0 \\ s_1 & c_1 & 0 & 0 \\ 0 & 0 & 1 & 0.23 \\ 0 & 0 & 0 & 1 \end{bmatrix} \quad {}^1_2T = \begin{bmatrix} s_2 & c_2 & 0 & 0 \\ 0 & 0 & 1 & -0.054 \\ c_2 & -s_2 & 0 & 0 \\ 0 & 0 & 0 & 1 \end{bmatrix} \quad {}^2_3T = \begin{bmatrix} c_3 & -s_3 & 0 & 0.185 \\ s_3 & c_3 & 0 & 0 \\ 0 & 0 & 1 & 0 \\ 0 & 0 & 0 & 1 \end{bmatrix} \\
{}^3_4T &= \begin{bmatrix} -s_4 & -c_4 & 0 & 0.17 \\ c_4 & -s_4 & 0 & 0 \\ 0 & 0 & 1 & 0.077 \\ 0 & 0 & 0 & 1 \end{bmatrix} \quad {}^4_5T = \begin{bmatrix} -s_5 & -c_5 & 0 & 0 \\ 0 & 0 & -1 & -0.077 \\ c_5 & -s_5 & 0 & 0 \\ 0 & 0 & 0 & 1 \end{bmatrix} \quad {}^5_6T = \begin{bmatrix} c_6 & -s_6 & 0 & 0 \\ 0 & 0 & -1 & -0.0255 \\ s_6 & c_6 & 0 & 0 \\ 0 & 0 & 0 & 1 \end{bmatrix}
\end{aligned}$$

则有：

$${}^0_6T = {}^0_1T {}^1_2T {}^2_3T {}^3_4T {}^4_5T {}^5_6T = \begin{bmatrix} r_{11} & r_{12} & r_{13} & p_x \\ r_{21} & r_{22} & r_{23} & p_y \\ r_{31} & r_{32} & r_{33} & p_z \\ 0 & 0 & 0 & 1 \end{bmatrix}$$

其中： $r_{11} = c_1s_6s_{234} - c_1s_5c_6c_{234} - s_1c_5c_6$; $r_{12} = c_1c_6s_{234} + c_1s_5s_6c_{234} + s_1c_5s_6$;

$r_{13} = -s_1s_5 + c_1c_5c_{234}$; $r_{21} = s_1s_6s_{234} - s_1s_5c_6c_{234} + c_1c_5c_6$;

$r_{22} = s_1c_6s_{234} + s_1s_5s_6c_{234} - c_1c_5s_6$; $r_{23} = c_1s_5 + s_1c_5c_{234}$;

$r_{31} = s_6c_{234} + s_5c_6s_{234}$; $r_{32} = c_6c_{234} - s_5s_6s_{234}$; $r_{33} = -c_5s_{234}$;

$p_x = 0.0255c_1c_5c_{234} - 0.0255s_1s_5 + 0.077c_1s_{234} - 0.023s_1 + 0.185c_1s_2 + 0.17c_1s_{23}$;

$p_y = 0.0255s_1c_5c_{234} + 0.0255c_1s_5 + 0.077s_1s_{234} + 0.023c_1 + 0.185s_1s_2 + 0.17s_1s_{23}$;

$p_z = -0.0255c_5s_{234} + 0.077c_{234} + 0.17c_{23} + 0.185c_2 + 0.23$;

则末端吸盘位姿矩阵为：

$${}^0_TT = {}^0_6T {}^6_TT = {}^0_6T \begin{bmatrix} 1 & 0 & 0 & 0 \\ 0 & 1 & 0 & 0 \\ 0 & 0 & 1 & 0.06 \\ 0 & 0 & 0 & 1 \end{bmatrix} = \begin{bmatrix} r_{11} & r_{12} & r_{13} & p_x + 0.06r_{13} \\ r_{21} & r_{22} & r_{23} & p_y + 0.06r_{23} \\ r_{31} & r_{32} & r_{33} & p_z + 0.06r_{33} \\ 0 & 0 & 0 & 1 \end{bmatrix} = \begin{bmatrix} r_{11} & r_{12} & r_{13} & x \\ r_{21} & r_{22} & r_{23} & y \\ r_{31} & r_{32} & r_{33} & z \\ 0 & 0 & 0 & 1 \end{bmatrix}$$

故：

$$x = p_x + 0.06r_{13}; y = p_y + 0.06r_{23}; z = p_z + 0.06r_{33}$$

接下来求解欧拉角，用欧拉角表示旋转矩阵：

$$\begin{aligned}
R_{XY'Z'}(\alpha, \beta, \gamma) &= \begin{bmatrix} 1 & 0 & 0 \\ 0 & c\alpha & -s\alpha \\ 0 & s\alpha & c\alpha \end{bmatrix} \begin{bmatrix} c\beta & 0 & s\beta \\ 0 & 1 & 0 \\ -s\beta & 0 & c\beta \end{bmatrix} \begin{bmatrix} c\gamma & -s\gamma & 0 \\ s\gamma & c\gamma & 0 \\ 0 & 0 & 1 \end{bmatrix} \\
&= \begin{bmatrix} c\beta c\gamma & -c\beta s\gamma & s\beta \\ c\alpha s\gamma + c\gamma s\alpha s\beta & c\alpha c\gamma - s\alpha s\beta s\gamma & -c\beta s\alpha \\ s\alpha s\gamma - c\alpha c\gamma s\beta & c\gamma s\alpha + c\alpha s\beta s\gamma & c\alpha c\beta \end{bmatrix} = \begin{bmatrix} r_{11} & r_{12} & r_{13} \\ r_{21} & r_{22} & r_{23} \\ r_{31} & r_{32} & r_{33} \end{bmatrix}
\end{aligned}$$

不妨规定 $(\alpha, \beta, \gamma) \in (-\pi, \pi] \times [-\frac{\pi}{2}, \frac{\pi}{2}] \times (-\pi, \pi]$;

因为 $c\beta \geq 0$ ，故 $c\beta = \sqrt{r_{11}^2 + r_{12}^2}$ ；又 $s\beta = r_{13}$ ，有：

$$\beta = \text{Atan2}(r_{13}, \sqrt{r_{11}^2 + r_{12}^2})$$

若 $c\beta > 0$ ，则显然可以得到：

$$\alpha = \text{Atan2}(-r_{23}, r_{33}), \gamma = \text{Atan2}(-r_{12}, r_{11})$$

$$\text{若 } c\beta = 0, \text{ 当 } \beta = \frac{\pi}{2} \text{ 时, } R_{XY'Z'}(\alpha, \beta, \gamma) = \begin{bmatrix} 0 & 0 & 1 \\ r_{21} & r_{22} & 0 \\ r_{31} & r_{32} & 0 \end{bmatrix} = \begin{bmatrix} 0 & 0 & 1 \\ s(\alpha + \beta) & c(\alpha + \beta) & 0 \\ -c(\alpha + \beta) & s(\alpha + \beta) & 0 \end{bmatrix};$$

可得 $\alpha + \gamma = \text{Atan2}(r_{32}, r_{22})$ ，对应该姿态的 $XY'Z'$ 欧拉角不唯一。

当 $\beta = -\frac{\pi}{2}$ 时，同理可得 $\alpha - \gamma = \text{Atan2}(r_{32}, r_{22})$ ，对应该姿态的 $XY'Z'$ 欧拉角不唯一。

3.逆运动学解

已知吸盘末端位姿(x,y,z,rx,ry,rz)，可得关节 6 转移矩阵：

$${}^0_6T = \begin{bmatrix} R_x(rx)R_y(ry)R_z(rz) & [x,y,z]^T \\ \mathbf{0}_{1 \times 3} & 1 \end{bmatrix} \begin{bmatrix} 1 & 0 & 0 & 0 \\ 0 & 1 & 0 & 0 \\ 0 & 0 & 1 & 0.06 \\ 0 & 0 & 0 & 1 \end{bmatrix}^{-1} = \begin{bmatrix} r_{11} & r_{12} & r_{13} & x \\ r_{21} & r_{22} & r_{23} & y \\ r_{31} & r_{32} & r_{33} & z \\ 0 & 0 & 0 & 1 \end{bmatrix}$$

考虑到：

$${}^0_6T = {}^0_1T {}^1_2T {}^2_3T {}^3_4T {}^4_5T {}^5_6T (*)$$

将含有 θ_1 的部分移到方程的左边，有：

$${}^0_1T^{-1} {}^0_6T = {}^0_1T {}^1_2T {}^2_3T {}^3_4T {}^4_5T {}^5_6T$$

即：

$$\begin{bmatrix} c_1 & s_1 & 0 & 0 \\ -s_1 & c_1 & 0 & 0 \\ 0 & 0 & 0 & 0 \\ 0 & 0 & 0 & 1 \end{bmatrix} \begin{bmatrix} r_{11} & r_{12} & r_{13} & x \\ r_{21} & r_{22} & r_{23} & y \\ r_{31} & r_{32} & r_{33} & z \\ 0 & 0 & 0 & 1 \end{bmatrix} = {}^1_6T$$

令上式两边(2,3)和(2,4)相等，有：

$$-s_1 r_{13} + c_1 r_{23} = s_5, \quad -s_1 x + c_1 y = d_2 + d_4 + d_6 s_5$$

联立，消去 s_5 ，可得：

$$(d_6 r_{23} - y)c_1 - (d_6 r_{13} - x)s_1 = -d_2 - d_4$$

令

$$\begin{cases} d_6 r_{13} - x = \rho \cos \varphi \\ d_6 r_{23} - y = \rho \sin \varphi \end{cases}$$

满足：

$$\begin{cases} \rho = \sqrt{(d_6 r_{13} - x)^2 + (d_6 r_{23} - y)^2} \\ \varphi = \text{Atan2}(d_6 r_{23} - y, d_6 r_{13} - x) \end{cases}$$

回代，有：

$$\rho \sin(\varphi - \theta_1) = -d_2 - d_4$$

则有：

$$\varphi - \theta_1 = \text{Atan2}\left(\frac{-d_2 - d_4}{\rho}, \pm \sqrt{1 - \left(\frac{-d_2 - d_4}{\rho}\right)^2}\right)$$

故：

$$\theta_1 = \text{Atan2}(d_6 r_{23} - y, d_6 r_{13} - x) - \text{Atan2}(-d_2 - d_4, \pm \sqrt{(d_6 r_{23} - y)^2 + (d_6 r_{13} - x)^2 - (d_2 + d_4)^2})$$

$$\theta_5 = \text{Asin}(-s_1 r_{13} + c_1 r_{23})$$

由 sin 函数性质可知， $\theta_5 = \begin{cases} -\pi - \theta_5 & \theta_5 < 0 \\ \pi - \theta_5 & \theta_5 > 0 \end{cases}$ 也成立。

再令两边(2,1)和(2,2)分别相等，有：

$$-s_1 r_{11} + c_1 r_{21} = c_5 c_6, \quad -s_1 r_{12} + c_1 r_{22} = c_5 s_6$$

得：

$$\theta_6 = \text{atan2}((-s_1 r_{12} + c_1 r_{22})c_5, (-s_1 r_{11} + c_1 r_{21})c_5)$$

当 $c_5 = 0$ 时，操作臂处于**奇异位形**，此时关节轴 4、关节轴 5 和关节轴 6 两两垂直，引起机器人末端连杆相同的运动。在这种情况下，所有结果（所有可能的解）都是 θ_6 和 $\theta_2 + \theta_3 + \theta_4$ 的和或差。当操作臂处于奇异位形时，则 θ_6 可以任意选取（通常取关节 6 的当前值），当计算出 θ_6 时，相应地选取 $\theta_2 + \theta_3 + \theta_4$ ，并进行下一步计算。

解出 $\theta_1 \theta_5 \theta_6$ 之后，重新整理(*)式，有：

$${}^0T^{-1}_1 {}^0T^{-1}_7 {}^5T^{-1}_6 {}^{-14}T^{-1}_5 = {}^1T^{-1}_3 {}^3T^{-1}_4 {}^4T^{-1}_5 \quad (\#)$$

其中, (#)式左边 ${}^0T^{-1}_1 {}^0T^{-1}_7 {}^5T^{-1}_6 {}^{-14}T^{-1}_5$ 已知, 记为:

$${}^0T^{-1}_1 {}^0T^{-1}_7 {}^5T^{-1}_6 {}^{-14}T^{-1}_5 \stackrel{\text{def}}{=} \begin{bmatrix} r'_{11} & r'_{12} & r'_{13} & x' \\ r'_{21} & r'_{22} & r'_{23} & y' \\ r'_{31} & r'_{32} & r'_{33} & z' \\ 0 & 0 & 0 & 1 \end{bmatrix}$$

令(#)式两边元素(1,4)和(3,4)相等, 得到:

$$x' = a_2 c_2 + a_3 c_{23} \quad (1)$$

$$z' = -a_2 s_2 - a_3 s_{23} \quad (2)$$

(1)² + (2)²可得:

$$c_3 = (x'^2 + y'^2 - a_2^2 - a_3^2) / 2a_2 a_3$$

则:

$$\theta_3 = \pm \text{Acos}((x'^2 + y'^2 - a_2^2 - a_3^2) / 2a_2 a_3)$$

回代, 可得:

$$\theta_2 = \text{atan2}((a_2 + a_3 c_3)x - (a_3 s_3)y, (a_3 s_3)x + (a_2 + a_3 c_3)y)$$

令(#)式两边元素(1,1)和(1,2)相等, 得到:

$$r'_{11} = c_{234}, \quad r'_{12} = -s_{234}$$

则:

$$\theta_2 + \theta_3 + \theta_4 = \text{Atan2}(-r'_{12}, r'_{11})$$

因此:

$$\theta_4 = \text{Atan2}(-r'_{12}, r'_{11}) - \theta_2 - \theta_3$$

其中, $a_2 = 0.185, a_3 = 0.17, d_1 = 0.23, d_2 = -0.054, d_3 = 0, d_4 = d_5 = 0.077, d_6 = 0.0855$.

对于以上求解过程, 我们使用 Python 编写了自己的逆运动学求解器 `myIKSolver.py`, 其中除了完成了逆运动学求解, 还加入了根据各个关节角的范围筛选可行解的部分, 使得求解器的输出即为可行解。

在对各个中间点求解逆运动学解时, 我们引入了最近邻匹配算法, 以保证当前中间点的关节角和上一中间点的关节角改变量尽可能小。其中, 匹配指标为关节角之间的欧氏距离。

```
def near_match(angles, last_q):
    if angles.shape[0] == 1:
        return angles[0]
    else:
        min = 10000000000
        res = angles[0]
        for angle in angles:
            sum = 0
            for i in range(6):
                sum += (angle[i] - last_q[i])**2
            if sum < min:
                min = sum
                res = angle
        return res
```

4.四元数转欧拉角

Demo 程序已经实现了这四个物块的四元数姿态读取, 所以我们只需要把四元数转为欧拉角即可。转换原理如下:

对于四元数 $[\eta, \varepsilon_1, \varepsilon_2, \varepsilon_3]$, 其对应的旋转矩阵为:

$$R = \begin{bmatrix} 2(\eta^2 + \varepsilon_1^2) - 1 & 2(\varepsilon_1 \varepsilon_2 - \eta \varepsilon_3) & 2(\varepsilon_1 \varepsilon_3 + \eta \varepsilon_2) \\ 2(\varepsilon_1 \varepsilon_2 + \eta \varepsilon_3) & 2(\eta^2 + \varepsilon_2^2) - 1 & 2(\varepsilon_2 \varepsilon_3 - \eta \varepsilon_1) \\ 2(\varepsilon_1 \varepsilon_3 - \eta \varepsilon_2) & 2(\varepsilon_2 \varepsilon_3 + \eta \varepsilon_1) & 2(\eta^2 + \varepsilon_3^2) - 1 \end{bmatrix} \stackrel{\text{def}}{=} \begin{bmatrix} r_{11} & r_{12} & r_{13} & x \\ r_{21} & r_{22} & r_{23} & y \\ r_{31} & r_{32} & r_{33} & z \\ 0 & 0 & 0 & 1 \end{bmatrix}$$

则对应的欧拉角为:

$$\alpha = \text{Atan2}(-r_{23}, r_{33})$$

$$\beta = \text{Atan2}(r_{13}, \sqrt{r_{11}^2 + r_{12}^2})$$

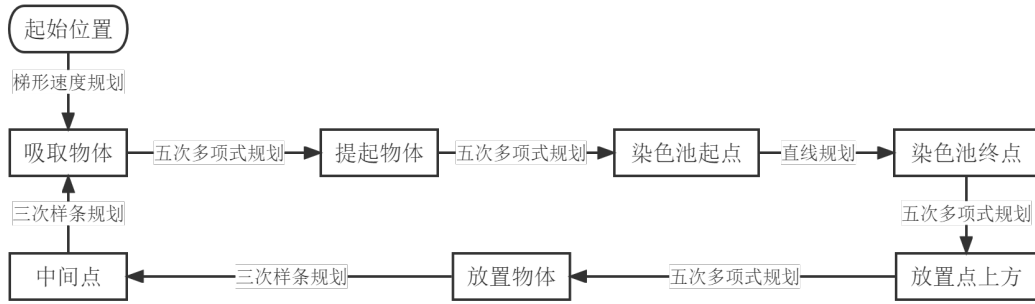
$$\gamma = \text{Atan2}(-r_{12}, r_{11})$$

程序实现如下图所示:

```
def convert(b, a1, a2, a3):
    r11=2*(b**2+a1**2)-1
    r12=2*(a1*a2-b*a3)
    r13=2*(a1*a3+b*a2)
    r21=2*(a1*a2+b*a3)
    r22=2*(b**2+a2**2)-1
    r23=2*(a2*a3-b*a1)
    r31=2*(a1*a3-b*a2)
    r32=2*(a2*a3+b*a1)
    r33=2*(b**2+a3**2)-1
    alpha = math.atan2(-r23, r33)
    beta = math.atan2(r13, math.sqrt(r11**2+r12**2))
    gamma = math.atan2(-r12, r11)
    return alpha, beta, gamma
```

5. 轨迹规划

整体流程图如下所示:



5.1 梯形速度规划（带抛物线拟合的线性函数）

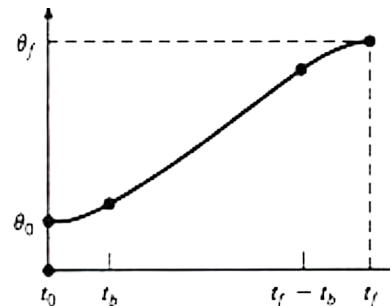
主要用于开始段和结束段，因为这两段的关节转动角度大，采用梯形速度规划可以有效减少所需时间。假设两端的抛物线拟合区段具有相同的持续时间，因此在这两个拟合区段中采用相同的恒定加速度（符号相反）。

这种规划方法存在多个解，每个结果都对称于时间中点 t_h 和位置中点 θ_h ，拟合区段终点的速度必须等于直线段的速度，即 $\dot{\theta}t_b = \frac{\theta_h - \theta_b}{t_h - t_b}$ ，式中， $\theta_b = \theta_o + \frac{1}{2}\ddot{\theta}t_b^2$ 是拟合段终点的 θ 值，

$\ddot{\theta}$ 是拟合段的加速度，联立上式并考虑 $t_h = \frac{t_f}{2}$ 及 $\theta_h = \frac{\theta_o + \theta_f}{2}$ ，有 $\ddot{\theta}t_b^2 - \ddot{\theta}t_f t_b + (\theta_f - \theta_o) = 0$ ，

选取 $\ddot{\theta}$ 使得 $\ddot{\theta} \geq \frac{4(\theta_f - \theta_o)}{t_f^2}$ ，则 $t_b = \frac{t_f}{2} - \frac{\sqrt{\ddot{\theta}^2 t_f^2 - 4\ddot{\theta}(\theta_f - \theta_o)}}{2\ddot{\theta}}$ 。于是，在开始控制的 t 时刻，有：

$$\theta(t) = \begin{cases} \theta_o + \frac{1}{2}\ddot{\theta}t^2, & t < t_b \\ \theta_o + \frac{1}{2}\ddot{\theta}t_b^2 + \ddot{\theta}t_b(t - t_b), & t_b \leq t < t_f - t_b \\ \theta_f - \frac{1}{2}\ddot{\theta}(t_f - t)^2, & t_f - t_b \leq t < t_f \\ \theta_f, & t \geq t_f \end{cases}$$



$$\dot{\theta}(t) = \begin{cases} \ddot{\theta}t, & t < t_b \\ \ddot{\theta}t_b, & t_b \leq t < t_f - t_b \\ \ddot{\theta}(t_f - t), & t_f - t_b \leq t < t_f \\ 0, & t \geq t_f \end{cases}$$

5.2 五次多项式关节空间规划

在目标物转移段和拿起放下段，我们采用了五次多项式关节空间规划方法，指定运动段起点和终点的位置、速度和加速度。主要是为了与直线段平滑过渡且做到轻拿轻放。

设五次曲线为：

$$\theta(t) = a_0 + a_1t + a_2t^2 + a_3t^3 + a_4t^4 + a_5t^5$$

则对应的速度和加速度曲线分别为：

$$\dot{\theta}(t) = a_1 + 2a_2t + 3a_3t^2 + 4a_4t^3 + 5a_5t^4; \quad \ddot{\theta}(t) = 2a_2 + 6a_3t + 12a_4t^2 + 20a_5t^3$$

约束条件为：

$$\theta_0 = \theta(0), \quad \theta_f = \theta(t_f), \quad \dot{\theta}_0 = \dot{\theta}(0), \quad \dot{\theta}_f = \dot{\theta}(t_f), \quad \ddot{\theta}_0 = \ddot{\theta}(0), \quad \ddot{\theta}_f = \ddot{\theta}(t_f)$$

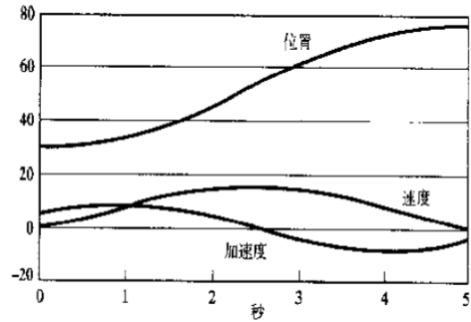
根据方程组可以解得：

$$a_0 = \theta_0 \quad a_1 = \dot{\theta}_0 \quad a_2 = \frac{\ddot{\theta}_0}{2}$$

$$a_3 = \frac{20\theta_f - 20\theta_0 - (8\dot{\theta}_f + 12\dot{\theta}_0)t_f - (3\ddot{\theta}_0 - \ddot{\theta}_f)t_f^2}{2t_f^3}$$

$$a_4 = \frac{30\theta_f - 30\theta_0 + (14\dot{\theta}_f + 16\dot{\theta}_0)t_f - (3\ddot{\theta}_0 - 2\ddot{\theta}_f)t_f^2}{2t_f^4}$$

$$a_5 = \frac{12\theta_f - 12\theta_0 - (6\dot{\theta}_f + 6\dot{\theta}_0)t_f - (\ddot{\theta}_0 - \ddot{\theta}_f)t_f^2}{2t_f^5}$$



5.3 三次样条规划

在放置点 A 经中间点 B 到下一个目标物的拿起点 C 的路径中，我们采用了三次样条规划方法，无需在中间点 B 停下，保证流畅性和效率。

分别设 A-B 段、B-C 段的三次曲线为

$$\theta_{AB}(t) = a_0 + a_1t + a_2t^2 + a_3t^3$$

$$\theta_{BC}(t) = b_0 + b_1t + b_2t^2 + b_3t^3$$

约束条件 1：经过 A 点，且 A 点速度、加速度为零

$$a_0 = \theta_A$$

$$a_1 = 0$$

约束条件 2：经过 B 点，且 B 点平滑过渡，即当 $t = t_{AB}$ 时位置、速度、加速度一致

$$a_0 + a_1t_{AB} + a_2t_{AB}^2 + a_3t_{AB}^3 = \theta_B$$

$$b_0 + b_1t_{AB} + b_2t_{AB}^2 + b_3t_{AB}^3 = \theta_B$$

$$a_1 + 2a_2t_{AB} + 3a_3t_{AB}^2 = b_1 + 2b_2t_{AB} + 3b_3t_{AB}^2$$

$$2a_2 + 6a_3t_{AB} = 2b_2 + 6b_3t_{AB}$$

约束条件 3：经过 C 点，且 C 点速度为零。

$$b_0 + b_1t_{AC} + b_2t_{AC}^2 + b_3t_{AC}^3 = \theta_C$$

$$b_1 + 2b_2t_{AC} + 3b_3t_{AC}^2 = 0$$

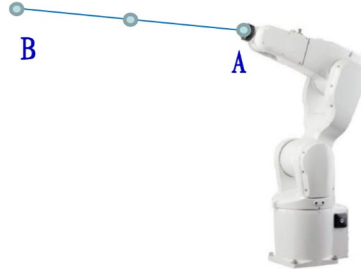
根据该线性方程组解出 8 个系数即可

5.4 直线段笛卡尔空间规划

本次任务所要求的直线规划仅在 X 位置方向上有变化，而在 YZ 位置方向和姿态上均无变化，因此只需在 X 方向上对位置进行线性插补即可。插补公式为：

$$x = x_0 + (x_1 - x_0) \times \frac{t}{time}$$

每经过一个控制周期计算一次插补值，通过逆运动学求解器求解关节角，输入至 API 接口中，完成匀速直线运动控制。



同时，为了保证转移段和直线段之间的非静止平滑过渡，我们计算出直线段前三个控制周期和末三个控制周期的关节角值（逆运动学解），使用后向差分计算出直线段各个关节角的起始速度、加速度，代入至前转移段的五次多项式规划的终点速度、加速度指定中；使用前向差分计算出直线段各个关节角的末尾速度、加速度，代入至后转移段的五次多项式规划的起点速度、加速度指定中。最终实现目标物从拿起点上方经染色池至放置点上方的平滑运动。公式如下：

$$\omega_1 = \frac{\theta_2 - \theta_1}{\Delta t}, \omega_2 = \frac{\theta_3 - \theta_2}{\Delta t}, \beta = \frac{\omega_2 - \omega_1}{\Delta t}$$

其中， $\theta_1, \theta_2, \theta_3$ 为直线段前三个控制周期或末三个控制周期的关节角值（逆运动学解）

示例代码如下：

```
vel_tmp = (line_q2-line_q1)/0.05
vel_tmp2 = (line_q3-line_q2)/0.05
acc_tmp = (vel_tmp2-vel_tmp)/0.05
q = trajPlaningfive(q4, q17, vel_tmp2, np.zeros(6), acc_tmp, np.zeros(6), t-61, 3)
```

四、实验结果与分析（必填）

1.正运动学验证

取关节角为 $(\frac{\pi}{6}, 0, \frac{\pi}{6}, 0, \frac{\pi}{3}, 0)$ ，代入正运动学公式，可得：

$[x, y, z, \alpha, \beta, \gamma] = [0.0905, 0.1643, 0.6075, -104.5025^\circ, -3.3258^\circ, -154.2947^\circ]$

仿真结果如下图所示：，二者基本一致。

```
x: +0.0905  y: +0.1644  z: +0.6075
a: -104.51  b: -003.32  q: -154.25
```

2.逆运动学验证

取末端位姿为 $[0.117, 0.334, 0.499, -115.68^\circ, -3.32^\circ, -125.47^\circ]$ ，代入以上公式可得 2 组可行的关节角：

$[1.04691599, 0.5432342, 0.53145443, -0.55151197, 0.52390861, 0.69854057]$

$[1.04691599, 1.05168991, -0.53145443, 0.00294118, 0.52390861, 0.69854057]$

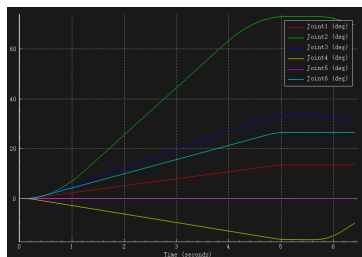
将以上两个关节角代入仿真，仿真结果如下图所示，二者基本一致。

```
x: +0.1169  y: +0.3341  z: +0.4989  x: +0.1169  y: +0.3341  z: +0.4990
a: -115.72  b: -003.31  q: -125.47  a: -115.70  b: -003.32  q: -125.44
```

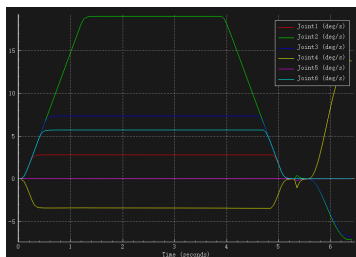
3.轨迹规划

3.1 梯形速度规划

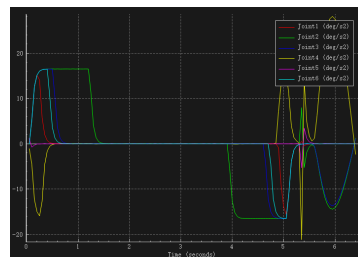
机械臂六个关节的角度、角速度、角加速度曲线如下图所示：



关节角曲线图



角速度曲线图

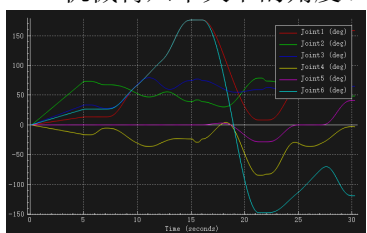


角加速度曲线图

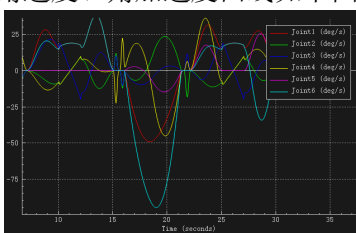
【分析】从图中可以看到，我们较好地实现了梯形速度规划，角度、角速度曲线都连续且平滑。

3.2 五次多项式规划及三次样条规划

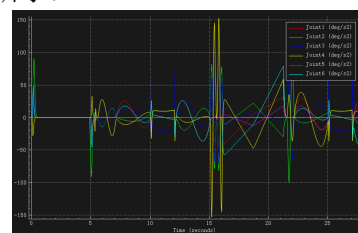
机械臂六个关节的角度、角速度、角加速度曲线如下图所示：



关节角曲线图



角速度曲线图

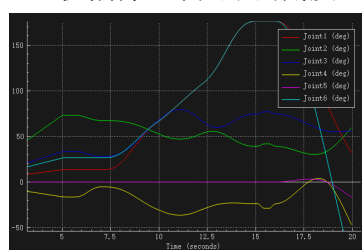


角加速度曲线图

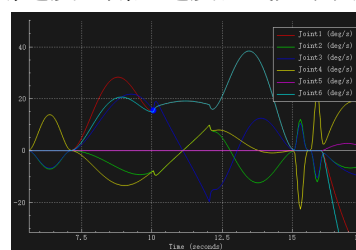
【分析】从图中可以看到，采用关节空间多项式规划的各个关节的关节角、角速度、角加速度都连续且平滑，这对机械臂的控制是有利的。

3.3 直线段笛卡尔空间规划

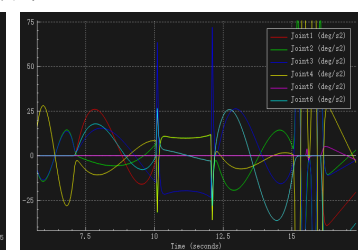
机械臂六个关节的角度、角速度、角加速度曲线如下图所示：



关节角曲线图



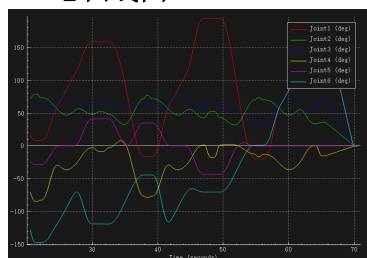
角速度曲线图



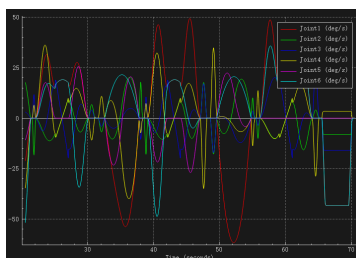
角加速度曲线图

【分析】从图中可以看到，在10s和12s处加速度曲线出现了尖峰，这正是数值差分近似计算速度和加速度的缺点：差分近似微分有误差存在，该误差经二阶求导后会显著放大，因此在加速度曲线上会有尖峰出现。

3.4 总曲线图



关节角曲线图



角速度曲线图



角加速度曲线图

3.5 摆放效果

我们最终用 70s 实现了四个物块的摆放，结果如下图所示：

